

# ΠΡΑΚΤΙΚΑ ΤΗΣ ΑΚΑΔΗΜΙΑΣ ΑΘΗΝΩΝ

ΣΥΝΕΔΡΙΑ ΤΗΣ 1ΗΣ ΑΠΡΙΛΙΟΥ 1997

ΠΡΟΕΔΡΙΑ ΝΙΚΟΛΑΟΥ ΜΑΤΣΑΝΙΩΤΗ

## ΣΥΓΧΡΟΝΗ ΟΠΤΙΚΗ ΤΩΝ ΑΚΤΙΝΩΝ-X ΚΑΙ ΕΦΑΡΜΟΓΕΣ ΤΗΣ

ΟΜΙΛΙΑ ΤΟΥ ΑΝΤΕΠΙΣΤΕΛΛΟΝΤΟΣ ΜΕΛΟΥΣ κ. Ν. Γ. ΑΛΕΞΑΝΔΡΟΠΟΥΛΟΥ

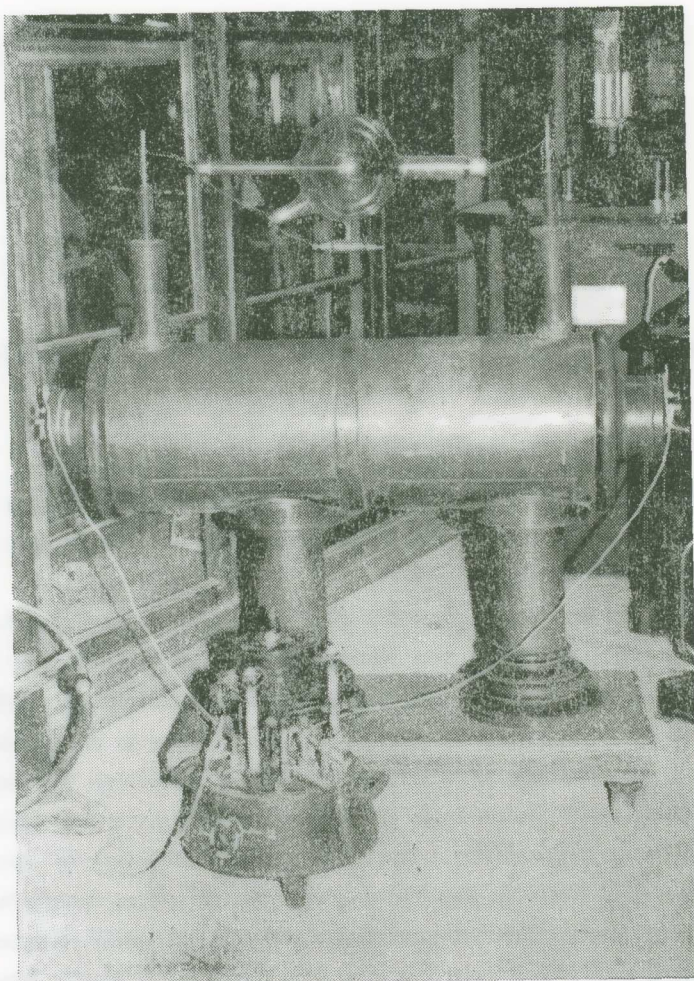
Κύριε πρόεδρε, κύριοι 'Ακαδημαϊκοί, κυρίες και κύριοι,

Τὸ θέμα στὸ δποῦ ἔχω τὴν τιμὴν νὰ σᾶς ξεναγήσω κατὰ τὰ ἐπόμενα 45 λεπτά, πιστεύω ὅτι ἐκτὸς τοῦ ἐπιστημονικοῦ ἐνδιαφέροντος ποὺ ἀναμφισβήτητα παρουσιάζει ἔχει και ἀρκετὰ εὐρύτερο ἐνδιαφέρον.

Ἡ διπτικὴ τῶν ἀκτίνων-X εἶναι δὲ κλάδος τῆς φυσικῆς ποὺ ἀσχολεῖται μὲ τὴν διάδοση τῆς ἡλεκτρομαγνητικῆς ἀκτινοβολίας τῆς φασματικῆς περιοχῆς τῶν ἀκτίνων-X διὰ τῆς ὥλης. Πάνω σ' αὐτὴ στηρίζεται σήμερα πλῆθος μεθόδων και τεχνικῶν ἔρευνας, βασικῆς και ἐφηρμοσμένης, ποὺ διεξάγεται σὲ διεπιστημονικὲς ἐγκαταστάσεις, τὶς γνωστὲς ἐγκαταστάσεις παραγωγῆς ἀκτινοβολίας συγχρότρου. Οἱ ἐγκαταστάσεις αὐτὲς ἔξελισσονται μὲ ταχύτατους ρυθμοὺς και ἀποτελοῦν ἐκτὸς τῶν ἄλλων τὸ δοκιμαστήριο ἴδεων και μεθόδων γιὰ τὴ μετεξέλιξη τῆς πολιτικοονομικῆς δομῆς τῆς ἔρευνητικῆς προσπάθειας τῆς γνωστῆς μέχρι πρόσφατα ὡς ἔρευνας «μικρῆς κλίμακας», σὲ διεπιστημονικὲς πολυεθνικὲς και πολυέξοδες συνεργασίες.

Ἡ σύντομη κατὰ περίπτωση ἀναφορὰ στὴν ἱστορία τοῦ πεδίου ὑπαγορεύεται ἐκ τοῦ γεγονότος ὅτι μόνο ἔρευνητικὰ πεδία τὰ δποῦ ἔχουν κλείσει τὸν κύκλο τῆς ἐξελίξεώς τους περιγράφονται πλήρως ἀπὸ τὰ τελευταῖα τους ἐπιτεύγματα, κάτι ποὺ δὲν συμβαίνει μὲ τὴν διπτικὴ τῶν ἀκτίνων-X, ἡ δποῖα ἐπ' οὐδενὶ λόγῳ ἔχει κλείσει τὸν κύκλο της. Ἔτσι, ἀρχίζω μὲ ἓνα ἀπόσπασμα ἐνὸς ἐγγράφου τόσο παλιοῦ ὅσο και οἱ ἀκτίνες-X, τὴν ἔκθεση πεπραγμένων τοῦ Καθηγητῆ Φυσικῆς τοῦ 'Εθνικοῦ Πανε-

πιστημίου, Τιμολέοντος Ἀργυρόπουλου. Στὴν ἔκθεση αὐτή, τὴν ὅποια συνέταξε τὴν 1η Ὁκτωβρίου τοῦ 1897 (παράρτημα A), μόλις 21 μῆνες ἀπὸ τὴν ἀνακάλυψη τῶν ἀκτίνων-X καὶ 4 μῆνες ἀπὸ τὴν συνθηκολόγηση τοῦ ἀτυχοῦς πολέμου τοῦ 1897, ἀναφέρει ὅτι εἶχε ἥδη ἐγκαταστήσει μιὰ διατάξη παραγωγῆς ἀκτίνων-X «διὰ τῶν



Σχῆμα 1. Φωτογραφία διατάξεως παραγωγῆς ἀκτίνων-X ἡ ὅποια εύρισκεται στὸ Μουσεῖο τοῦ κτιρίου τοῦ Χημείου, Σόλωνος 104 καὶ ἡ ὅποια εἶχε τεθεῖ, κατὰ πᾶσα πιθανότητα, σὲ λειτουργία τὸ 1897. Ἀποτελεῖται ὀπὸ τὴ λυχνίᾳ Crookes, τὸ πηγίο Ruhmkorff καὶ τὸ διακόπτη 'Υδραργύρου.

ύπαρχουσῶν ἐν αὐτῷ συσκευῶν» καὶ τὴν εἶχε θέσει σὲ λειτουργία γιὰ τὸν ἐντοπισμὸν «βιολίδων εἰς τραυματίας». Ἡ συσκευὴ<sup>1</sup> ποὺ εἶχε τεθεῖ σὲ λειτουργία ἀπὸ τὸ 1897, εἶναι, κατὰ πᾶσα πιθανότητα, αὐτὴ τοῦ σχῆματος 1, ποὺ εὑρίσκεται σήμερα στὸ Μουσεῖο στὸ κτίριο τοῦ Χημείου, Σόλωνος 104, καὶ δὲν ὑπολείπεται σὲ τίποτε ἀπὸ τὶς τότε σύγχρονες διατάξεις σὲ όποιοδήποτε ἄλλο σημεῖο τοῦ τότε ἐπιστημονικοῦ κόσμου, ὁ ἔδιος δὲ ὁ καθηγητῆς Ἀργυρόπουλος ἡσχολεῖτο μὲ τὶς τότε πλέον σύγχρονες ἐφαρμογές τῶν ἀκτίνων-Χ.

Σήμερα οἱ συνθῆκες ἔχουν μεταβληθεῖ ἄρδην, ὥστε, οὐδεὶς ἀσχολούμενος μὲ ἀκτίνες-Χ νὰ δύναται νὰ ἐπαναλάβει τοὺς ἴσχυρισμοὺς τοῦ ἀείμνηστου Ἀργυρόπουλου. Τὰ σύγχρονα συστήματα παραγωγῆς ἀκτίνων-Χ, οἱ ἐγαταστάσεις τρίτης γενιᾶς ἀκτινοβολίας συγχρότρου, δὲν ὑπερβαίνουν τὶς δώδεκα σὲ ὅλον τὸν κόσμο, εἶναι δαπανηρές τόσο ὡς πρὸς τὴν κατασκευὴν ὡσα καὶ στὴ λειτουργία τους, ἡ δὲ ὑπαρξὴ τους ἐκτὸς τῶν ἐπιστημονικῶν ἀναγκῶν ἵκανοποιεῖ καὶ ἄλλες. Ὡς ἐπιπρόσθετα κίνητρα γιὰ τὴ χρηματοδότησή τους θὰ πρέπει νὰ θεωρηθοῦν, ἡ βελτίωση πλήθους ποικίλων ἄλλων τεχνικῶν καὶ ἡ συντήρηση ἐνὸς σημαντικοῦ ἀριθμοῦ βιομηχανιῶν καὶ βιοτεχνιῶν τεχνολογικῆς αἰχμῆς, μικροῦ ὅμιλος ἐμπορικοῦ ἐνδιαφέροντος. Καὶ τοῦτο διότι ἡ κατασκευὴ δακτυλίων συσσωρεύσεως ἡλεκτρονίων ὑψηλῶν ἐνεργειῶν μεγάλης πυκνότητας ρεύματος καὶ σταθερότητας ἀφ' ἐνὸς καὶ διπτικῶν συστημάτων ὑψηλῶν ἐπιδόσεων ἀφ' ἔτερου, ὡθοῦν ὅλες τὶς σύγχρονες τεχνολογίες, ἀπὸ τὶς δομικὲς κατασκευὲς μέχρι τὴ μικροηλεκτρονική, στὰ ὄριά τους, συμβάλλοντας στὴν ἐξέλιξή τους, ἐνῶ συγχρόνως δοκιμάζονται πρωτοποριακὲς γι' αὐτὲς ἰδέες.

Θέματα ποὺ μέχρι πρὸιν μερικὰ χρόνια ἦταν ἀσχολία θεωρητικῶν Φυσικῶν ἀσχολουμένων μὲ κομψούς καὶ πρωτότυπους ὑπολογισμούς ἀκαδημαϊκοῦ μόνον ἐνδιαφέροντος, βρῆκαν ἐφαρμογές σὲ βασικές συσκευές, ποὺ ἀποτελοῦν τὴν ὑποδομὴ τῶν ἐγκαταστάσεων αὐτῶν, π.χ. οἱ ὑπολογισμοὶ τῆς κίνησης σχετικιστικῶν ἡλεκτρονίων σὲ χωρικὰ περιοδικὰ μαγνητικὰ πεδία ἀποτελοῦν τὴ βάση γιὰ τὴν κατασκευὴ τῶν ἑλιτρόχων μεγάλης καὶ μικρῆς περιόδου (wiggler καὶ undulator).

Μία τῶν ἐγκαταστάσεων τρίτης γενιᾶς τῆς ἀκτινοβολίας συγχρότρου, ἡ Εὐρωπαϊκὴ Ἐγκατάσταση Ἀκτινοβολίας Συγχρότρου (ΕΕΑΣ)<sup>2</sup>, ἡ ὁποία θὰ μποροῦσε νὰ ἔχει δηλωτικὴ ἐπιγραφὴ «Οἱ Εὐρωπαῖοι πλὴν Ἑλλήνων», εὑρίσκεται στὴν Grenoble

1. Τὴ φωτογραφία αὐτὴ καθὼς ἐπίσης τὸ ἀντίγραφο τοῦ ἐγγράφου τοῦ καθηγητῆς Ἀργυρόπουλου ἔθεσε εἰς τὴ διάθεση τοῦ γράφοντος ὁ λέκτορας τοῦ τμῆματος Φυσικῆς τοῦ Πανεπιστημίου Ἀθηνῶν κ. Χρ. Συμεωνίδης.

2. Κατὰ ἀντιστοιχία ESRF (European Synchrotron Radiation Facility).

τῆς Γαλλίας ἀν καὶ χρηματοδοτεῖται γὰρ δώδεκα χρόνια ἀπὸ δώδεκα Εύρωπαϊκὲς χῶρες<sup>3</sup>, εἶναι μία μὴ διακρατικὴ συνεργασία ποὺ λειτουργεῖ ὑπὸ νομικὸ καθεστώς Γαλλικῆς ἑταῖρείας. Τὸ κόστος κατασκευῆς τῆς ἀνέρχεται στὸ 2.6 δισεκατομμύρια Γαλλικὰ Φράγκα καὶ τὸ κόστος λειτουργίας τῆς μέχρι τὸ 1998 ὑπολογίζεται στὸ 1 δισεκατομμύριο Γαλλικὰ Φράγκα. ‘Ο δακτύλιος συσσωρεύσεως ἔχει περίμετρο 845 m, ἡ ἐνέργεια τῶν ἡλεκτρονίων εἶναι 6 GeV, τὸ δὲ ρεῦμα εἶναι 200 mA μὲ ἐνα χρόνο ζωῆς τὸ διπολοῦ δύναται νὰ φθάσει σὲ 60h, κατὰ δὲ τὸ πρῶτο ἔξαμηνο τοῦ 1997 ἔχουν προγραμματισθεῖ 3569 πειραματικὲς βάρδιες, στὶς 23 ἔξιδονς ἀκτινοβολίας.

Τὸ σχῆμα 2 δείχνει τὴ χρονικὴ ἔξτριξη τῶν πηγῶν ἀκτίνων-X, μὲ βάση τὴ λαμπρότητα τῶν πηγῶν σὲ ph/s/mm<sup>2</sup>/mrad<sup>2</sup>/0.1%BW ἡ ὅποια, ἀφοῦ κατὰ τὰ πρῶτα 80 χρόνια αὐξήθηκε κατὰ ἐνα συντελεστὴ τῆς τάξεως τοῦ χίλια, ἀπὸ τὶς ἀρχὲς τῆς δεκαετίας τοῦ 1970 μέχρι σήμερα αὐξήθηκε 10<sup>13</sup> φορές. ‘Η βελτίωση τῆς λαμπρότητας τῶν πηγῶν εἶχε κατ’ ἀρχὴν ὡς ἀποτέλεσμα τὴν ἐπανεξέταση ἀσθενῶν φαινομένων, τὰ διπολαῖα εὑρίσκοντο στὴν περιοχὴ τῆς στατιστικῆς ἀξιοπιστίας καὶ τὴν καθιέρωση πειραματικῶν μεθόδων, οἱ διποίες μὲ τὶς προηγούμενες συνθῆκες δὲν ἥταν πρακτικὰ ἐφαρμόσιμες λόγω τοῦ μεγάλου χρόνου ποὺ θὰ ἀπαιτοῦσε ἡ ἐφαρμογὴ τους. ‘Η αὔξηση δύμας τῆς λαμπρότητας δὲν εἶναι ἡ μόνη βελτίωση τῶν πηγῶν ἀκτίνων-X, διότι ἀπὸ τὴν εἰσαγωγὴ ἥδη τῆς πρώτης γενιᾶς τῶν ἐγκαταστάσεων συγχρότρου γιὰ τὴν παραγωγὴ ἀκτίνων-X, ἡ ἀκτινοβολία εἶναι γραμμικὰ πολωμένη στὸ ἐπίπεδο τῆς τροχιᾶς τῶν ἡλεκτρονίων<sup>4</sup>. ‘Η δεύτερη γενιὰ αὐξάνει τὴ λαμπρότητα τῆς πηγῆς καὶ συγχρόνως ἐπιτυγχάνει δέσμες μὲ πόλωση κατὰ δύο ἀξιονες<sup>5</sup>, δηλαδὴ μὲ ὅλες τὶς καταστάσεις πολώσεως γραμμικῆς, κυκλικῆς καὶ ἐλλειπτικῆς. ‘Η ἐμπειρία ποὺ ἀποκτήθηκε συνετέλεσε στὴν κατασκευὴ τῆς τρίτης γενιᾶς μὲ ἔνθετες διατάξεις, ἡ ὅποια δὲν ὑπερέχει μόνο ὡς πρὸς τὴ λαμπρότητα ἀλλὰ καὶ ὡς πρὸς τὸ ὅτι ἡ πόλωση τῆς δέσμης ρυθμίζεται κατὰ βούληση<sup>6</sup> καὶ τὸ σημαντικότερο παράγοντας οίνονεὶ σύμφωνες δέσμες μὲ μῆκος χωρικῆς καὶ χρονικῆς συμφωνίας<sup>7</sup> τέτοιο ποὺ ἐπιτρέπει τὴν ἀξιοποίηση τῆς φάσεως τοῦ κύματος. Εἶναι ἡ πρώτη φορὰ ποὺ ἀξιοποι-

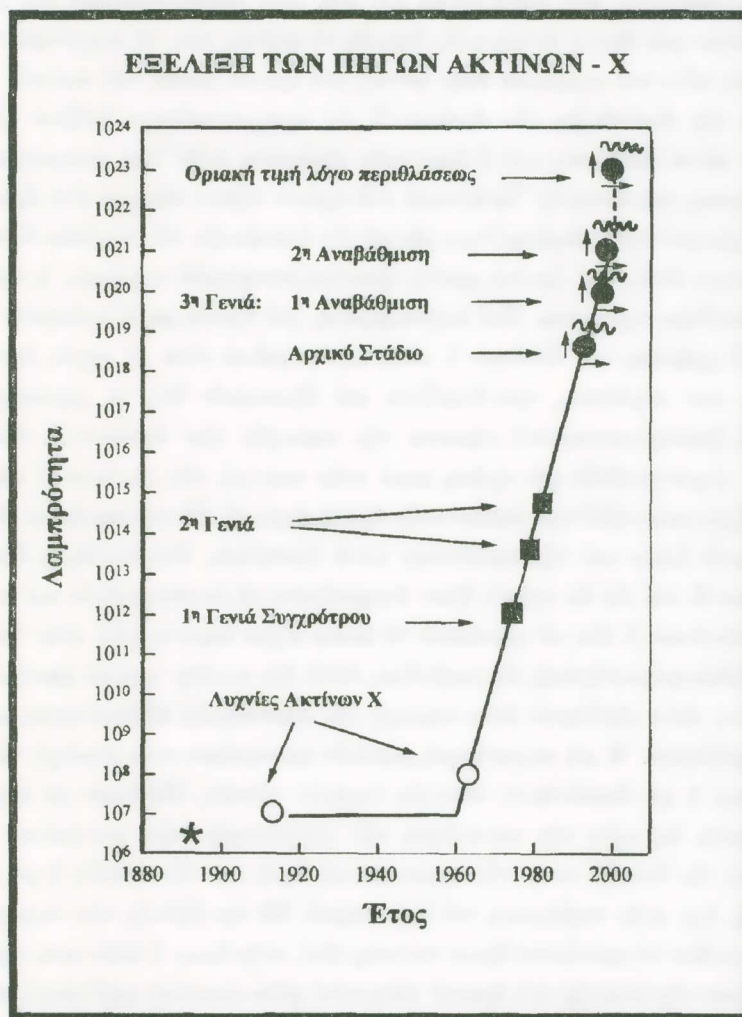
3. Ἀγγλία, Βέλγιο, Γαλλία, Γερμανία, Ἰταλία, Δανία, Ἐλβετία, Ἰσπανία, Νορβηγία, Ὀλανδία, Σουηδία, Φιλανδία.

4. Αὕτο ὑποδεικνύεται στὸ σχῆμα μὲ τὸ ὄριζόντιο βέλος.

5. Αὕτο ὑποδεικνύεται στὸ σχῆμα μὲ τὰ δύο βέλη.

6. N. Γ. Ἀλεξανδρόπουλος καὶ Eir. Θεοδωρίδου-Καραδήμα, Συμπυκνωμένη ὑλη καὶ ἀκτίνες-X, Ἰωάννινα 1996.

7. A. Q. R. Baron, A. I. Chumakov, H. F. Grünstendel, H. Grünstendel, L. Niesen and R. Rüffer, Phys. Rev. Lett., 77, 4808 (1996).



Σχήμα 2. Χρονολογική έξέλιξη τῶν πηγῶν ἀκτίνων-X, χαρακτηριζόμενη ἀπὸ τὴ λαμπρότητὰ τους σὲ  $\text{ph}/\text{s}/\text{mm}^2/\text{mrad}^2/0,1\%$  B.W., ἀπὸ τῆς ἀνακαλύψεώς τους μέχρι σήμερα.

α) Οἱ κενοὶ κύκλοι ὑποδηλώνουν λυχνίες ἀκτίνων-X ποὺ παράγουν γραμμικὲς μὴ πολωμένες ἀκτίνες ἐπικαθήμενες σὲ συνεχὲς ὑπόστρωμα. β) Τὰ τετράγωνα παριστάνουν τοὺς δακτυλίους πρώτης καὶ δεύτερης γενιᾶς χωρὶς καὶ μὲ κνθετες διατάξεις, οἱ δόποις παράγουν ἀσύμφωνες ἀκτίνες-X συνεχοῦς φάσματος πολωμένες καὶ γ) Οἱ γεμάτοι κύκλοι ὑποδηλώνουν δακτυλίους τρίτης γενιᾶς μὲ κνθετες διατάξεις ἐλιτρόχου μεγάλης καὶ μικρᾶς περιόδου, ποὺ παράγουν ἐκτὸς τῶν ἄλλων καὶ σύμφωνες δέσμες. Τὰ βέλη ὑποδεικνύουν τὴν πόλωση κατὰ τὸ ἐπίπεδο τῆς τροχιᾶς τῶν ἡλεκτρονίων καὶ κάθετα σ' αὐτό, ἡ δὲ κυματικὴ μορφὴ ὑποδεικνύει σύμφωνο δέσμη. Οἱ ἀστερίσκοι ὑποδηλώνει τὶς λυχνίες Crookes.

οῦνται οἱ πληροφορίες ποὺ περιέχονται καὶ στὰ τρία χαρακτηριστικὰ τοῦ κύματος ποὺ περιγράφει μιὰ δέσμη ἀκτίνων-X, δηλαδὴ τὸ πλάτος του, τὴ συχνότητά του καὶ τὴ φάση του, κάτι ποὺ συμβαίνει στὴν ὁπτικὴ τοῦ ὁρατοῦ φωτὸς πρὸ πολλοῦ.

Μέχρι τὴν ἀνακάλυψη τῶν ἀκτίνων-X, ὡς πραγματικότητα ὅριζετο ὅ, τι ὑπέπιπτε στὶς πέντε αἰσθήσεις καὶ ὁ ἐρευνητὴς εὑρίσκετο στὴν ἵδια μειονεκτικὴ θέση δύπως ὁ μύωπας περιπατητὴς Ἰαπωνικοῦ ἀνθισμένου κήπου πάσχων ἀπὸ ἀχρωματοψία. Ἡ «ἀχρωματοψία» θεραπεύθηκε μὲν μὲ τὴν ἀνακάλυψη τῶν ἀκτίνων-X τὸ 1896, καὶ τῶν ἄλλων ἐκτὸς τοῦ ὁρατοῦ φωτὸς ἡλεκτρομαγνητικῶν κυμάτων, ἡ «μυωπία» ὅμως θεραπεύθηκε πρόσφατα. Πιὸ συγκεκριμένα, γιὰ πρώτη φορὰ πρόσφατα ὁ ἐρευνητὴς καὶ ὁ χρήστης τῶν ἀκτίνων-X εἶναι ἐφοδιασμένοι τόσο μὲ πηγὲς ὅσο καὶ μὲ ἀνιγνευτές, ποὺ παράγουν, προσδιορίζουν καὶ ἀξιοποιοῦν ὅλα τὰ χαρακτηριστικὰ μεγέθη τοῦ ἡλεκτρομαγνητικοῦ κύματος τῆς περιοχῆς τῶν ἀκτίνων-X. Εἶναι ἔτοι δυνατὸ νὰ παρατηρηθοῦν γιὰ πρώτη φορὰ στὴν περιοχὴ τῶν ἀκτίνων-X φαινόμενα τὰ ὅποια εἶχαν μελετηθεῖ πρὸ πολλοῦ στὴν ὁρατὴ περιοχή. Μὲ τὰ φαινόμενα τῆς περιθλάσσεως κατὰ Laue καὶ τῆς σκεδάσσεως κατὰ Compton, ἐθεμελιώθη ἡ δυϊκὴ ὑφὴ τῶν ἀκτίνων-X καὶ ὡς ἐκ τούτου ἥταν ἀναμενόμενο νὰ παρατηρηθοῦν καὶ στὴν περιοχὴ τῶν ἀκτίνων-X ὅλα τὰ φαινόμενα τὰ ὅποια εἶχαν παρατηρηθεῖ στὴν ὁρατὴ περιοχὴ τῆς ἡλεκτρομαγνητικῆς ἀκτινοβολίας. Αὐτὸ δὲν συνέβη· μερικὰ φαινόμενα παρετηρήθησαν, ὅλα εὑρέθησαν στὴν περιοχὴ τῆς στατιστικῆς ἀβεβαιότητας καὶ ὅλα δὲν παρετηρήθησαν. Ἡ μὴ παρατήρηση μερικῶν φαινομένων στὴν περιοχὴ τῶν ἀκτίνων-X, ὅπως ἡ μὴ διαπίστωση ὁπτικῶν ἐνεργῶν οὐσιῶν, διδήγησαν σὲ ἐσφαλμένα συμπεράσματα ὡς πρὸς τὴν κατανόηση τῶν μηχανισμῶν τῶν φαινομένων αὐτῶν, ἀποδίδοντας τὴν ὑπαρξὴν τους στὴν κρυσταλλικὴ δομὴ καὶ τὴν ὑπαρξὴν ἡ μὴ κέντρου συμμετρίας, π.χ. στὴν περίπτωση τοῦ διχρωϊσμοῦ. Μὲ τὴν ἐξέλιξη τῶν πειραματικῶν δυνατοτήτων ὅλα τὰ φαινόμενα ἔχουν παρατηρηθεῖ, πλὴν ὅμως ἡ ἐπέκταση τῆς ἰσχύος τῶν μοντέλων τῆς ὁπτικῆς τοῦ ὁρατοῦ φάσματος μόνο ποιοτικὴ περιγραφὴ τῶν φαινομένων ἐπιτυγχάνει μέχρι σήμερα.

Οἱ κυριότερες τεχνικὲς ποὺ συγκροτοῦν τὴν σύγχρονη ὁπτικὴ τῶν ἀκτίνων-X εἶναι: α) Ἀκτινογραφία ἀντιθέσσεως φάσεως, β) Φασματοσκοπία κοκκωδῶν εἰδώλων ἢ ἄλλιῶν Φασματοσκοπία συσχετισμοῦ φάσεως, γ) Περίθλαση σὲ μικρὲς γωνίες, δ) Μικροκρυσταλλογραφία ἀκτίνων-X, ε) Μικροσκοπία ἀκτίνων-X, στ) Μικροανάλυση, ζ) Ἀναβαθμισμένη φασματοσκοπία ἀκτίνων-X, η) Ἀναβαθμισμένη κρυσταλλογραφία ἀκτίνων-X, θ) Σκέδαση ἀκτίνων-X σὲ μικρὲς γωνίες καὶ ι) Τοπογραφία ἀκτίνων-X.

Τὰ στοιχεῖα τῶν ὁπτικῶν διατάξεων τῶν ἀκτίνων-X εἶναι: α) Οἱ πηγές, κλασικές λυγνίες καὶ δακτύλιοι συσσωρεύσεως, β) Κρύσταλλοι, μεγάλης ποικιλίας ὑλ-

κῶν, διαστάσεων και σχημάτων, γ) Ἀνιχνευτές, δ) Κάτοπτρα, μονοκρυστάλλων και πολλαπλών στρωμάτων, ε) Φακοί περιθλάσσεως Bragg-Fresnell, καθώς ἐπίσης και φακοί διαθλάσσεως, στ) Τριχοειδεῖς κυματοδηγοί και θ) Πλακίδια λ/ν. Τὰ τελευταῖα τρία στοιχεῖα ἐμπλουτίσαν πρόσφατα τὴν ὀργανοθήκη τῶν ἔρευνητῶν και περιγράφονται συνοπτικά στὴ συνέχεια.

Οἱ φακοὶ περιθλάσσεως ἀκτίνων-Χ ή ἄλλως φακοὶ Bragg-Fresnell<sup>8</sup> ποὺ ἔστιάζουν και μονοχρωματίζουν δέσμες ἀκτίνων-Χ βασίζονται στὴν ἰδιότητα τοῦ συστήματος ὁμοκέντρων κυκλικῶν ζωνῶν, τοῦ αὐτοῦ ἐμβαδοῦ, ἐναλλάξ διαφανῶν και ἀδιαφανῶν νὰ συμπεριφέρεται ὡς συγκεντρωτικὸς φακὸς κατὰ τοὺς ὑπολογισμοὺς τοῦ Fresnell<sup>9</sup> (παράρτημα B) και τὴν ἀνάλαση κατὰ Bragg. "Ενας φακὸς Bragg-Fresnell κατασκευάζεται ἀπὸ ἕνα λεπτὸ πλακίδιο μονοκρυστάλλων π.χ. Ge<sup>10</sup> ἐπὶ τοῦ ὅποιου ἔχουν χαραχθεῖ ἔνας ἀριθμὸς ὁμοκέντρων κυκλικῶν αὐλάκων διαφόρου πλά-

8. A. Snigirev, I. Snigireva, P. Engström, S. Lequien, A. Ruvorov, Y. Hartman, P. Chevalier, M. Idic, F. Legrand, G. Soullie, S. Engrand, Rev. Sci. Inst. 66, 1461 (1995).

9. 170 χρόνια πρόν, τὸ 1818, ὅταν ἡ μελέτη τῆς ὑφῆς τοῦ φωτός, κυματικὴ ἢ μή, ὅταν ἡ ἔρευνα αἰχμῆς, ὁ Fresnell λαμβάνει μέρος σὲ ἔναν διαγωνισμὸ τῆς Γαλλικῆς Ἀκαδημίας, σχετικὸ μὲ τὸ Θέμα, ὑποστηρίζοντας τὴν κυματικὴ ὑφή. Ἡ Ἑλλανόδικος ἐπιτροπὴ ἀποτελεῖτο ἀπὸ τοὺς Pierre Laplace, Jean B. Biot, Simeon D. Poisson, Dominique F. Arago και τὸν Joseph L. Gay-Lussac. Τὸ πόνημα τοῦ Fresnell ὑπὸ τὸν τίτλο «Mémoire Courronnée» τὸ ὅποιο και ἔλαβε τὸ πρῶτο βραβεῖο, εὑρῆκε πολέμιο τὸν Poisson, ὁ ὅποιος δὲν ἀποδέχετο τὴν κυματικὴ ὑφὴ τοῦ φωτός. Ὁ Poisson στὴν προσπάθειά του νὰ ἀποδείξει τὸ ἐσφαλμένο τῶν παραδοχῶν τοῦ Fresnell προέκτεινε τοὺς ὑπολογισμοὺς τοῦ Fresnell και κατέληξε στὸ συμπέρασμα ὅτι στὸ κέντρο τῆς σκιᾶς μιᾶς μικρῆς σφαίρας θὰ πρέπει νὰ ὑπάρχει ἔνα φωτεινὸ σημεῖο. Αὐτὸ τὸ θεώρησε ὡς καίριο κτύπημα γιὰ τοὺς ὑπολογισμοὺς τοῦ Fresnell, γιατὶ δὲν ἤξερε τὴν πειραματικὴ παρατήρηση τοῦ Maraldi τὸ 1723, ὅπως και τὸν Arago, ὁ ὅποιος ἐπανέλαβε τὸ πείραμα και ἀπεδείχθη τὸ ἀληθὲς τῆς θεωρίας τοῦ Fresnell, τὸ δὲ φωτεινὸ σημεῖο στὸ κέντρο τῆς σκιᾶς εἶναι γνωστὸ σήμερα ὡς σημεῖο τοῦ Poisson. "Ενα ἀπὸ τὰ συμπεράσματα τῆς θεωρίας τοῦ Fresnell εἶναι ὅτι ἔνα σύστημα συγκεντρωτικῶν δακτυλίων διαδοχικὰ διαφανῶν και ἀδιαφανῶν, τοῦ αὐτοῦ ἐμβαδοῦ γνωστοῦ ὡς «Πλακίδιο ζωνῶν» ἀποτελεῖ ἔνα συγκεντρωτικὸ φακὸ ἐστιακῆς ἀποστάσεως.

$$f = \frac{R_1^2}{\lambda}$$

Τὸ συμπέρασμα αὐτὸ ποὺ κατέληγε σὲ διάταξη γνωστὴ και ὡς «φακὸς περιθλάσσεως» διότι ἡ ἔστιαση βασίζεται στὸ φαινόμενο τῆς περιθλάσσεως και ὅχι τῆς διαθλάσσεως στὸ ὅποιο βασίζονται οἱ κοινοὶ φακοί, ἀποτελοῦσε ἐπὶ τόσα χρόνια ἔνα παράδειγμα κομψῶν μαθηματικῶν ὑπολογισμῶν χωρὶς πρακτικὸ ἀποτέλεσμα. Αὐτὸ δρεῖτο στὸ διὰ τὸ πλάτος τῶν δακτυλίων πρέπει νὰ εἶναι συγκρίσιμο μὲ τὸ μῆκος κύματος τῆς ἀκτινοβολίας, περιορισμὸς ποὺ ἐπέτρεπε κατασκευὴς τέτοιων φακῶν μόνο στὴν περιοχὴ τῶν μικροκυμάτων.

10. "Ενας τέτοιος φακὸς ποὺ ἀναφέρεται στὴ δημοσίευση τῶν A. Snigirev et al. Optic. Comm. (1996) ἔχει διαστάσεις: ἡ ἀκτίνα τῆς ἐσωτάτης ζώνης εἶναι  $R_1 = 3.9$  μ.μ, τὸ πλάτος τῆς ἐξωτά-

τους πού ἐπέχουν τὴ θέση τῶν διαφανῶν ζωνῶν τοῦ συστήματος ζωνῶν Fresnell.<sup>1</sup> Η παράλληλος δέσμη τῶν ἀκτίνων προσπίπτει ἐπὶ τοῦ πλευρικοῦ τοιχώματος τῆς αὔλακος καὶ ἀνακλᾶται κατὰ Bragg καὶ συγκλίνει στὴν κυρία ἐστία. Τὸ ὄφος τῆς αὔλακος ἐπιλέγεται ἔτσι ὥστε νὰ πληροῦνται οἱ συνθῆκες ἐνισχυτικῆς συμβολῆς τόσο στὸ χεῖλος ὅσο καὶ στὸν πυθμένα τῶν τοιχωμάτων τῆς αὔλακος.

Οἱ ἀπαιτήσεις γιὰ ἐστίαση τῶν ἰσχυρῶν δεσμῶν μικρῆς διατομῆς ἀκτίνων-X στὶς ἐγκαταστάσεις συγχρότρου, συνδυαζόμενες μὲ τὶς δυνατότητες τῆς σύγχρονης μικρομηχανικῆς καὶ τὴν ὑπαρξὴν τελείων λεπτῶν κρυστάλλων, ὁδήγησε στὴν κατασκευὴ εὔχρηστων φακῶν Bragg-Fresnell ποὺ χρησιμοποιοῦνται καὶ στὴ σύγχρονη μικροσκοπίᾳ τῶν ἀκτίνων-X.

Ἐκτὸς τῶν φακῶν περιθλάσσεως ποὺ χρησιμοποιοῦνται εὐρέως στὶς ἐγκαταστάσεις συγχρότρου, στὸ πειραματικὸ στάδιο εύρισκονται καὶ οἱ φακοὶ διαθλάσσεως γιὰ ἀκτίνες-X. Ἡ ἀρχὴ τῶν φακῶν αὐτῶν σκιαγραφεῖται στὸ σχῆμα 3α, ὅπου ἔνας ἀμφίκοιλος φακὸς μὲ δείκτη διαθλάσσεως μικρότερο τοῦ δείκτη τοῦ μέσου στὸ ὅποιο εύρισκεται, ἀποτελεῖ ἔνα συγκεντρωτικὸ φακό. "Ολα τὰ ὑλικά, ὡς γνωστόν, παρουσιάζουν δ.δ. γιὰ τὶς ἀκτίνες-X μικρότερο τῆς μονάδας κατὰ περίπου  $10^{-5}$ . ἔτσι, ἐὰν ἡ καμπυλότητα ἐνὸς ἀμφίκοιλου φακοῦ εἴναι μεγάλη, δημιουργεῖται ἔνας συγκεντρωτικὸς φακὸς<sup>11</sup> ὅπως δείχνει τὸ σχῆμα 3β. Ἐλάττωση τῆς ἐστίακῆς ἀποστάσεως ἐπιτυγχάνεται μὲ σύστημα ὁμοίων φακῶν μὲ κοινὸ ἀξονα συμμετρίας, ὅπως δείχνει τὸ σχῆμα 3γ, ποὺ πραγματοποιεῖται ὅταν σὲ ἔνα φύλλο στοιχείου μικροῦ Z ἀνοιχθεῖ μιὰ σειρὰ ἀπὸ μικρές τρύπες. Ἡ ἀνάγκη δημιουργίας δεσμῶν ἀκτίνων-X ὑψηλῆς ροῆς καὶ διατομῆς τῆς τάξεως μερικῶν  $\mu\text{m}^2$  ὁδήγησε ἐπίσης στὴν ἀναζήτηση κυματοδηγῶν μικρομετρικῶν διαστάσεων γιὰ ἀκτίνες-X. Τέτοιοι κυματοδηγοὶ<sup>12</sup> ἔχουν κατασκευασθεῖ ἀποτελούμενοι ἀπὸ τριχοειδεῖς ὑάλινους σωλῆνες μὲ τοὺς ὅποιους ἔχουν ἐπιτευχθεῖ ροὲς τῆς τάξεως  $10^8 \text{ph/s}/\mu\text{m}^2/\text{mA}$  σὲ δέσμες διατομῆς 2μι<sup>ν</sup> καὶ ζώνης διελεύσεως  $2 \times 10^{14}$ .

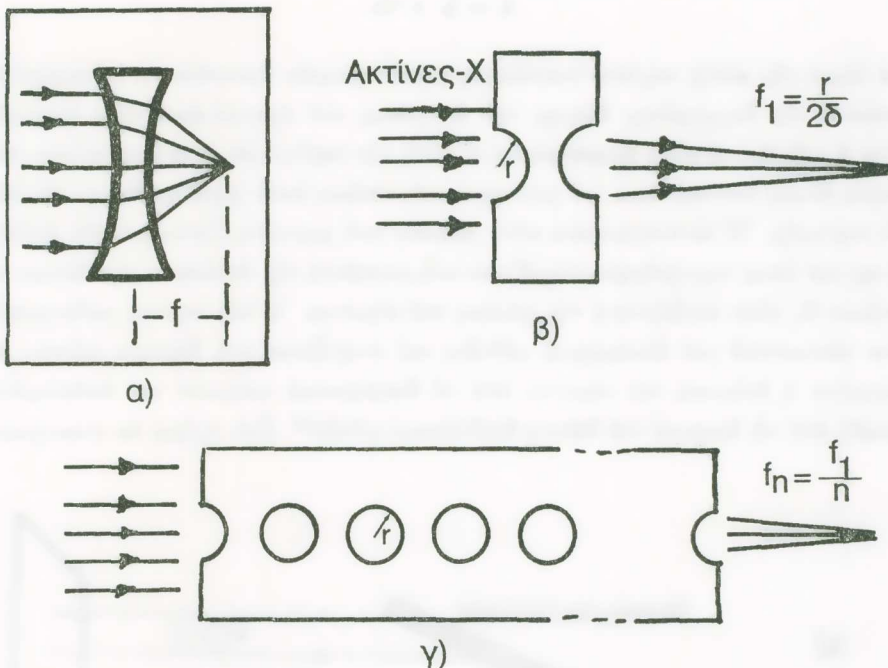
Σὲ περισσότερο προχωρημένο στάδιο ἔξελιξης εύρισκεται ἡ κατασκευὴ πλακιδίων  $\lambda/4$  γιὰ ἀκτίνες-X, ποὺ βασίζονται στὴ μικρὴ ἀλλὰ ὑπαρκτὴ διαφορὰ τοῦ δείκτη διαθλάσσεως καὶ τῆς ἀνακλάσσεως πλησίον τῆς γωνίας Bragg<sup>13</sup> ἀπὸ μονοκρύσταλλο Ἀδάμαντος ἢ Πυριτίου ἢ Βηρυλίου.

τῆς ζώνης εἴναι  $\Delta R_n = 0.15 \mu\text{m}$ , τὸ δὲ ὄφος τῆς αὔλακος εἴναι  $2 \mu\text{m}$  καὶ οἱ τυπικὲς διαστάσεις τοῦ ἐστίακου σημείου εἴναι  $(1.3 \times 5) \mu\text{m}^2$ .

11. A. Snigirev, V. Kohn, I. Snigireva and B. Lengeler, Nature 384, 7 Nov. 49 (1996).

12. P. Engström, Development of Capillary Optics for X-ray Focusing (thesis; Chalmers Tekniska Högskola) ISBN 91-7032-584-7 (1996).

13. C. Giles, C. Malgrange, J. Goulon, F. de Bergevin, C. Vettier, A. Fontaine, E. Dartigue, S. Pizzini, F. Bandele, A. Freund, Rev. Scient. Inst. 60, 1549 (1995).



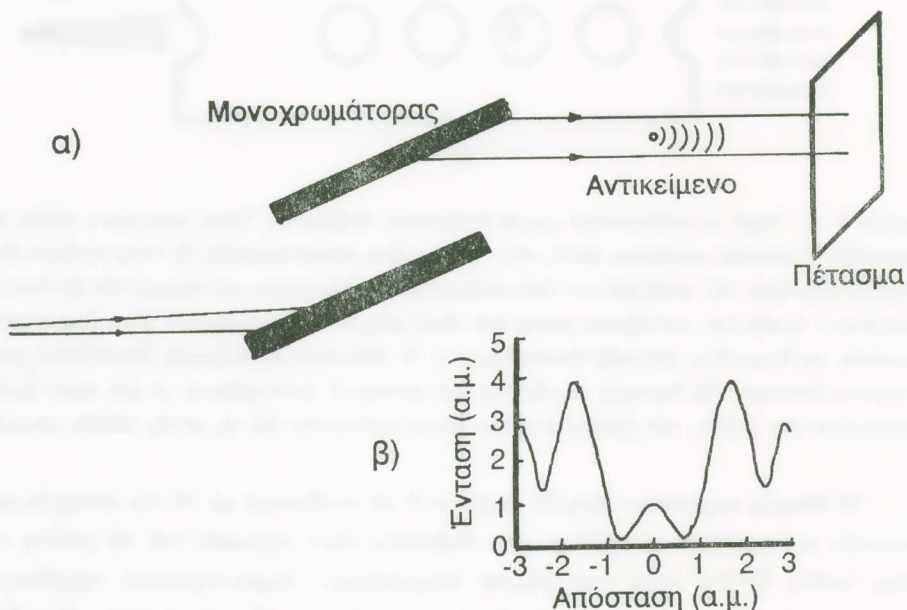
Σχήμα 3. α) Άρχη συγκεντρωτικού φακού διαθίσεως άκτινων-X. "Οταν άμφικοιλος φακός έμβαπτισθεί σε διπτικώς πυκνότερο ύλικό, τότε ο φακός είναι συγκεντρωτικός. β) "Ολα τα ύλικά είναι διπτικώς άραιοίτερα του κενού καὶ κατ' ἐπέκταση, τοῦ ἀέρα, στὴ φασματικὴ περιοχὴ τῶν άκτινων-X, ἐπομένως οἱ άμφικοιλοις κυλινδρικὸς φακός ἀπὸ ύλικὸ μικροῦ ἀτομικοῦ ἀριθμοῦ είναι ἔνας συγκεντρωτικὸς φακός μεγάλης ἑστιακῆς ἀποστάσεως. γ) "Η ἐλάττωση τῆς ἑστιακῆς ἀποστάσεως χωρὶς σύγχρονη ἐλάττωση τῆς διατομῆς τῆς δέσμης τῶν άκτινων-X ἐπιτυγχάνεται μὲ μιὰ σειρὰ δύοιων συγκεντρωτικῶν φακῶν, τῶν δοποίων οἱ κύριες ἑστίες εὑρίσκονται ἐπὶ τῆς αὐτῆς εὐθείας γραμμῆς.

"Η ὑπαρξη συμφώνων δεσμῶν άκτινων-X σὲ συνδυασμὸ μὲ τὰ νέα στοιχεῖα τῶν διπτικῶν συστημάτων συνετέλεσε στὴν ἀνάπτυξη νέων τεχνικῶν γιὰ τὴ μελέτη τῆς υλης καθὼς ἐπίσης στὴν ἀναβάθμιση παλαιοτέρων. Χαρακτηριστικὸ παράδειγμα νέας τεχνικῆς είναι ἡ άκτινογραφία ἀντιθέσεως φάσεως. 'Ο σχηματισμὸς τῶν εἰδώλων μὲ τὶς μέχρι σήμερα ἐφαρμοζόμενες τεχνικὲς βασίζεται στὸ διτι ή διαφορὰ τῆς άμαυρώσεως τῆς φωτογραφικῆς πλάκας ἐξαρτᾶται ἀπὸ τὴ διαφορὰ τῆς ἐντάσεως τῆς διερχομένης δέσμης μέσω ἀνομοιογενοῦς ἀντικειμένου, διποὺ ή ἔνταση τῆς διερχόμενης δέσμης ἀπὸ τὴν περιοχὴ (i) τοῦ ἀντικειμένου δίδεται ἀπὸ τὴ σχέση<sup>14</sup>:

14. μ<sub>i</sub> είναι ὁ γραμμικὸς συντελεστὴς ἀπορροφήσεως τοῦ ύλικοῦ, x<sub>i</sub> τὸ πάχος αὐτοῦ καὶ I<sub>i</sub> ἡ ἔνταση τῆς προσπίπτουσας δέσμης.

$$I_i = I_0 e^{-\mu_i x_i}$$

Για διαφορά της αύτης περίπου συστάσεως ή πολὺ μικρών διαστάσεων, ή διαφορά της έντασεως της διερχομένης δέσμης και έπομένως και άμαρτώσεως είναι άμελητά, ώστε ή μέθοδος να είναι άνεφαρμοστη σ' αύτη την περίπτωση ή να άπαιτούνται πολὺ ύψηλές δόσεις άκτινοβολίας και φωτογραφικές πλάκες πολὺ μεγάλης δυναμικής ένεργου περιοχής. Η άκτινογραφική αύτη μέθοδος πολύ χαρακτηρίζεται για την άπλοτητά της και όπως περιγράφηκε στηρίζεται στη μεταβολή της έντασεως της δέσμης των άκτινων-X, είναι άνεξάρτητη της φάσεως του κύματος. Η νέα τεχνική ραδιογραφίας είναι ούσιαστικά μια όλογραφική μέθοδος και στηρίζεται στη διαφορά φάσεως που είσαγαγει ή διέλευση του κύματος άπό τα διαφορετικά τμήματα του άντικειμένου, δηλαδή άπό τη διαφορά του δείκτη διαθλάσσεως αύτῶν<sup>15</sup>. Στό σχήμα 4α σκιαγραφεῖ-



Σχήμα 4α. Αρχή της άκτινογραφίας μεθόδου άντιθέσεως φάσεως. Η δέσμη άπό τὸν έλιτροχο μικρῆς περιόδου, μονοχρωματίζεται σὲ μονοχρωμάτορα αύλακα πολλαπλῶν άνακλάσεων δημιουργώντας μία μονοχρωματική δέσμη μὲ χωρικὸ καὶ χρονικὸ μῆκος συμφωνίας ίκανὸ νὰ σχηματίσει διόγραμμα του άντικειμένου ἐπὶ του πετάσματος. β) Κατανομὴ της έντασεως των άκτινων-X ἐπὶ του πετάσματος.

15. Υπό της διαθλάσσεως είναι σχεδόν μονάδα για τις άκτινες-X, διαφορά δρόμος

ται ή νέα αύτη τεχνική. Ή δέσμη τῶν ἀκτίνων-X ἀπὸ τὴν ἔνθετη διάταξη στὸ δακτύλιο συσσωρεύσεως μονογραματίζεται δημιουργώντας ἓνα ἐπίπεδο οἰονεὶ σύμφωνο κύμα τὸ ὅποιο προσπίπτει στὸ ἀντικείμενο. Στὸ τμῆμα τοῦ κύματος ποὺ διέρχεται ἀπὸ τὸ ἀντικείμενο εἰσάγεται διαφορὰ φάσεως καὶ ἐπὶ τοῦ πετάσματος σχηματίζεται ἕνα ὀλόγραμμα τύπου Gabor, σχῆμα 4β, ὅπου ἡ διαφορὰ τῆς ἀμαυρώσεως προέρχεται ἀπὸ τὴ διαφορὰ τοῦ δείκτη διαθλάσσεως. Τὰ πρῶτα πειράματα γιὰ τὴ θεμελίωση τῆς μεθόδου, ποὺ εὑρίσκεται ἀκόμη σὲ πειραματικὸ στάδιο, εἶναι θεαματικὰ π.χ. ἕνα λεπτὸ ηῆμα ὁργανικῆς οὐσίας ποὺ παρουσιάζει διαφορὰ ἀμαυρώσεως 0.02% στὴν ἀκτινογραφία πλάτους, παρουσιάζει διαφορὰ ἀμαυρώσεως 50% στὴν ἀκτινογραφία φάσεως. Τὰ πλεονεκτήματα τῆς μεθόδου προβλέπεται νὰ φέρουν ἐπανάσταση στὴν Ἱατρικὴ Ἀκτινοδιαγνωστική, διότι λεπτομέρειες τῆς τάξεως  $10^{-6}$  m γίνονται παρατηρήσιμες χωρὶς χρωστικές οὐσίες καὶ μὲ ἀσυγκρίτως καμηλότερες δόσεις.

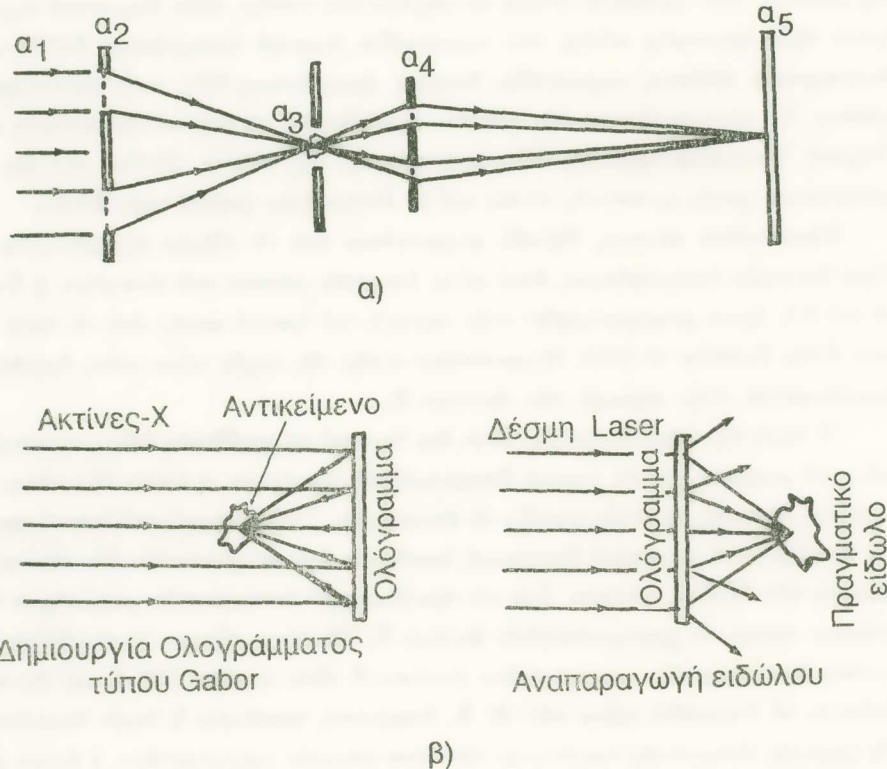
Μικροσκόπια φάσεως, δηλαδὴ μικροσκόπια ποὺ τὸ εἴδωλο σχηματίζεται ὅχι λόγῳ διαφορᾶς ἀπορροφήσεως ἀλλὰ λόγῳ διαφορᾶς φάσεως ποὺ εἰσαγάγει ἡ διαφορὰ τοῦ δ.δ., ἔχουν χρησιμοποιηθεῖ στὴν περιοχὴ τοῦ ὄρατοῦ φωτὸς ἀπὸ τὸ Δανὸ Φυσικὸ Frits Zernike τὸ 1934. Μικροσκόπια αὐτῆς τῆς ἀρχῆς τώρα μόλις ἀρχισαν νὰ ἐφευρίσκονται στὴν περιοχὴ τῶν ἀκτίνων-X.

Ἡ ἀρχὴ τῆς ἀπροσδιοριστίας θέτει ἔνα δριο γιὰ τὴ μεγέθυνση ἐνὸς μικροσκοπίου καὶ κατὰ συνέπεια γιὰ τὴ χωρικὴ διακριτικὴ του ἵκανότητα, ἡ ὅποια ἔξαρτᾶται ἀπὸ τὸ μῆκος κύματος, τὸ ὅποιο φωτίζει τὸ ἀντικείμενο. Στὴν περιοχὴ τοῦ ὄρατοῦ φωτός, γιὰ τὸ λόγο αὐτό, ἡ χωρικὴ διακριτικὴ ἵκανότητα ἐνὸς μικροσκοπίου δὲν γίνεται μικρότερη τῶν 2500 Å περίπου. Γιὰ τὸν προσδιορισμὸ λεπτομερειῶν μικροτέρων διαστάσεων πρέπει νὰ χρησιμοποιηθοῦν ἀκτίνες-X. Ἡ μέχρι σήμερα ἐπιτευχθεῖσα διακριτικὴ ἵκανότητα τῶν μικροσκοπίων ἀκτίνων-X εἶναι περίπου 550 Å καὶ δὲν προβλέπεται νὰ ἐπεκταθεῖ κάτω τῶν 20 Å, διακριτικὴ ἵκανότητα ἡ ὅποια ὑπολείπεται τῆς χωρικῆς διακριτικῆς ἵκανότητας τῶν ἡλεκτρονικῶν μικροσκοπίων, ἡ ὅποια φύλανει στὰ 2 Å (2-20 Å). Τὸ κύριο ὄμως πλεονέκτημα τῶν μικροσκοπίων ἀκτίνων-X ἔναντι τῶν ἡλεκτρονικῶν εἶναι ὅτι τὰ πρῶτα ἐπιτρέπουν ποσοτικὴ μελέτη βιολογικῶν παρασκευασμάτων στὸ φυσικὸ τους ἢ περίπου στὸ φυσικὸ τους περιβάλλον καὶ ἐπιπλέον ἐπιτυγχάνουν τὴν κατ' ἐπιλογὴ ἀπεικόνιση δεδομένου στοιχείου χρησιμοποιώντας γιὰ φωτισμὸ ἀκτίνες-X μήκους κύματος αὐτὸ τῆς ἀκμῆς ἀπορροφήσεως τοῦ στοιχείου. Ὁ τρόπος λειτουργίας τῶν διαφόρων τύπων μικροσκοπίων ἀκτίνων-X

---

ὅμως σὲ μήκη κύματος ἀκόμη καὶ γιὰ ἀντικείμενα μικρομετρικῶν διατάξεων εἶναι ἀρκετὰ μεγάλος, ὥστε νὰ εἰσάγεται σημαντικὴ διαφορὰ φάσεως, π.χ. γιὰ διαφορὰ δείκτη διαθλάσσεως  $10^{-5}$  καὶ πάχος 100 μμ, ἡ διαφορὰ φάσεως εἶναι  $180^{\circ}$ .

σκιαγραφεῖται στὸ σχῆμα 5. Τὸ εἰδώλο τοῦ ἀντικειμένου δημιουργεῖται<sup>16</sup> εἴτε μὲ τὴ διαδικασία τῆς ἀπορροφήσεως τῶν ἀκτίνων-Χ δημιουργώντας σκιὰ ἢ ὅποια μεγεθύνεται στὴ συνέχεια μὲ τὴ βοήθεια φακοῦ περιθλάσσεως, εἴτε μὲ τὴ δημιουργία ὄλογράμματος ἀκτίνων-Χ τύπου Gabor. Στὴ δεύτερη περίπτωση ἡ μεγέθυνση ἐπιτυγχάνεται μὲ ἀνασύσταση τοῦ εἰδώλου φωτίζοντας τὸ ὄλόγραμμα μὲ ὄπτικὸ Laser.



Σχῆμα 5. α) Σύνθετο μικροσκόπιο ἀκτίνων-Χ μὲ φακοὺς περιθλάσσεως Bragg-Fresnell  $\alpha_1$ ) δέσμη ἀκτίνων-Χ.  $\alpha_2$ ) Συγκεντρωτικὸς φακὸς ὃ ὅποιος συγκεντρώνει τὴ δέσμη πάνω στὸ δεῖγμα.  $\alpha_3$ ) Δεῖγμα.  $\alpha_4$ ) Ἀντικειμενικὸς φακός. α<sub>5</sub>) Ἀνιχνευτής εύαισθησίας θέσεως ἐπὶ τοῦ ὅποιου σχηματίζεται τὸ μεγεθυσμένο εἰδώλο. β) Ὁλογραφικὸ μικροσκόπιο ἀκτίνων-Χ. Τὸ εἰδώλο σχηματίζεται σὲ δύο στάδια, στὸ πρῶτο δημιουργεῖται ἔνα ὄλόγραμμα τύπου Gabor φωτίζοντας τὸ ἀντικείμενο μὲ μιὰ σύμφωνη δέσμη ἀκτίνων-Χ καὶ σὲ δεύτερο στάδιο, δημιουργεῖται τὸ εἰδώλο μεγεθυσμένο φωτίζοντας τὸ ὄλόγραμμα μὲ σύμφωνη δέσμη ὄρατοῦ φωτός.

16. M. R. Howells, J. Kirz and D. Sayre, Scient. Amer. Feb. 1991, p. 42.

‘Η σκέδαση συμφώνου ἀκτινοβολίας ἀπό συσσωματώματα διαστάσεων τῆς αὐτῆς τάξεως μεγέθους μὲ τὸ μῆκος κύματος τῆς ἀκτινοβολίας προκαλεῖ ἔνα κοκκώδες δόπτικό πεδίο. Μεταξύ τῆς κατανομῆς τῶν κόκκων τοῦ δόπτικοῦ πεδίου καὶ τῆς κατανομῆς τῶν συσσωματωμάτων τῆς σκεδαζούσης ψήλης ὑπάρχει μιὰ ἀμφιμονοσήμαντη ἀντιστοιχία ποὺ ἐπιτρέπει τὴ μελέτη τῆς κατανομῆς τῶν ἀνωμαλιῶν. ‘Η φασματοσκοπικὴ τεχνικὴ ποὺ βασίζεται στὰ παραπάνω καὶ ἀναπτύχθηκε μετὰ τὴν εἰσαγωγὴ τῶν Laser, εἶναι γνωστὴ ὡς κοκκώδης φασματοσκοπία (speckle spectroscopy). ‘Η ἐπιτευξη συμφώνων δεσμῶν ἀκτίνων-X σημαντικοῦ μήκους συμφωνίας στὶς ἐγκαταστάσεις συγχρότρου τρίτης γενιᾶς εἴχε ὡς ἀποτέλεσμα τὴν ἐπέκταση τῶν ὁρίων τῆς κοκκώδους φασματοσκοπίας σὲ ἀτομικὴ διάσταση<sup>17</sup>. Τὸ γεγονός αὐτὸς συνδυαζόμενο μὲ τὴν παλαικὴ χρονικὴ δομὴ τῆς δέσμης τῆς ἀκτινοβολίας συγχρότρου, ἐπιτρέπει τὴ δυναμικὴ μελέτη συστημάτων στὴν κατάσταση μεταβολῆς φάσεως. ‘Η ὑπαρξη τῶν συμφώνων δεσμῶν ἀκτίνων-X, ποὺ ἀποτέλεσε τὴ βάση τῶν νέων μεθόδων, δημιουργεῖ συγχρόνως νέους περιορισμούς στὴν δργανολογία τῆς τρίτης γενιᾶς τῶν ἐγκαταστάσεων συγχρότρου. ’Ενδεικτικὰ ἀναφέρεται τὸ βασικότερο στοιχεῖο τὸ ὅποιο εἶναι παρὸν σὲ κάθε διάταξη ἀκτίνων-X, τὸ παράθυρό της ὅπως π.χ. αὐτὸ τοῦ Βηρυλίου δημιουργεῖ κοκκώδη ύφη στὴν τομὴ τῆς δέσμης λόγω συμβολῆς ἀπὸ τὶς μικροσκοπικὲς ἀνωμαλίες τῆς ἐπιφανείας του<sup>18</sup>.

‘Αντιπροσωπευτικὸ παράδειγμα φασματοσκοπικῆς τεχνικῆς, ἡ ὁποία ἀναβαθμίστηκε καὶ ἐπεκτάθηκε εἶναι καὶ ἡ φασματοσκοπία μὴ ἐλαστικῆς σκεδάσεως ἀκτίνων-X.

Στὰ τέλη τῆς δεκαετίας τοῦ 1920 ἀναπτύχθηκε ἡ μέθοδος μελέτης τῆς ἐνεργειακῆς καταστάσεως τῶν ἡλεκτρονίων τοῦ στερεοῦ ἀπὸ τὸ φάσμα τῆς μὴ ἐλαστικῆς σκεδάσεως τῶν ἀκτίνων-X, ἡ ὁποία χρησιμοποιεῖται καὶ σήμερα εὐρύτατα γιὰ τὸν ἕδιο σκοπό<sup>19</sup>. Γιὰ τὴν πληρέστερη κατανόηση τῶν φαινομένων τὰ ὄποια ἐπηρεάζουν τὴν κατανομὴ τῶν ἡλεκτρονίων ἀπαιτεῖται βελτίωση τῆς ἐνεργειακῆς διακριτικῆς ἴκανότητας τῶν φασματοσκοπίων, ἡ ὁποία μέχρι πρόσφατα δὲν ἦταν καλύτερη τῶν μερικῶν eV. ‘Η χρησιμοποίηση τελείων κρυστάλλων μεγάλης ἐπιφανείας καὶ εἰδικῆς κοπῆς σὲ θέση ὀπισθοσκεδάσεως ἐλάττωσε τὴν τιμὴ τῶν διακρίσιμων ἐνεργειακῶν διαφορῶν στὴν τάξη τῶν μερικῶν δεκάδων meV. Αὐτὸ εἴχε ὡς συνέπεια ἡ μέθοδος

17. R. Ladbury, Phys. Today p. 22 June 1995, S. Brauer, G. B. Stephenson, M. Satton, R. Brüning, E. Dufresne, S. G. Mochrie, G. Grübel, J. Als-Nielsen, D. Abernathy, Phys. Rev. Lett. 74, 2010, 1995.

18. A. Snigirev, I. Snigireva, V. G. Kohn, S. M. Kuznetsov, Nuc. Inst. Met. in Phys. Res. A370, 634 (1996).

19. N. G. Alexandropoulos, Italian Physical Society, Conference Proceedings Vol. 25, 173 (1990), M. J. Cooper, Rep. Prog. Phys. A246, 491 (1986).

νὰ ἐπεκταθεῖ καὶ στὴ μελέτη τῆς κατανομῆς φωτονίων<sup>20</sup>, δηλαδὴ τῶν θερμικῶν ταλαντώσεων τῶν στερεῶν. Ἡ ἐφαρμογὴ τῆς μεθόδου στὸ νερό, στὴ στερεὰ καὶ στὴν ὑγρὴ μορφή, ἥλθε νὰ ἀνατρέψῃ ἐπιστημονικὰ δεδομένα τὰ δύοϊα μέχρι τώρα δὲν ἀμφισβητοῦντο. Συγκεκριμένα μέχρι τώρα ἥταν παραδεκτὸ διτὶ ἡ ταχύτητα τοῦ ἥχου (έλαστικῶν κυμάτων) στὰ στερεὰ εἶναι μεγαλύτερη αὐτῆς εἰς τὰ ὑγρά, πράγμα τὸ ὁποῖο ἀμφισβητεῖται μετὰ ἀπὸ πρόσφατες μετρήσεις.

Ἡ δύτικὴ τῶν ἀκτίνων-X, ποὺ 101 χρόνια τώρα ἀποτέλεσε τὸ βασικὸ ἔργαλεῖο γιὰ τὴ μελέτη τῆς ὕλης σὲ ἀτομικὴ καὶ ὑποατομικὴ κλίμακα, ἔχει ἐφαρμογὴς στὴν Ἱατρικὴ καὶ σὲ ὅλες σχεδὸν τὶς θετικὲς ἐπιστῆμες καὶ στὴν τεχνολογία, οἱ δύοϊς συνέβαλαν τὰ μέγιστα στὴν ἔξέλιξή τους. Σήμερα ἡ δύτικὴ τῶν ἀκτίνων-X εὑρίσκεται σὲ ἔνα σημεῖο ἀναμορφώσεων καὶ ὑπόσχεται διτὶ στὰ ἐπόμενα λίγα χρόνια θὰ προκαλέσει μιὰ ἀναθεώρηση πολλῶν βασικῶν ἀρχῶν τῆς φυσικῆς, ἐνῶ συγχρόνως θὰ ὁδηγήσει στὴν ἀνάπτυξη τεχνικῶν ποὺ θὰ ἐπηρεάσουν ὀλόκληρο τὸ ἐπιστημονικὸ οἰκοδόμημα, συμβάλλοντας στὴν τεχνολογικὴ ἐπανάσταση. Ἡ ἐποχὴ ποὺ διανύουμε σήμερα εἶναι γιὰ τὴν δύτικὴ τῶν ἀκτίνων-X διτὶ ἡ περίοδος τῆς δεκαετίας τοῦ 1960. γιὰ τὴν δύτικὴ τοῦ ὄρατοῦ φωτὸς μετὰ τὴν ἐφεύρεση τοῦ Laser, μὲ τὸ ἐπιπρόσθετα χαρακτηριστικὸ διτὶ παρουσιάζει μιὰ πρωτόγνωρη δυναμική.

Ἐγώ τὴν ἐντύπωση διτὶ εὑρίσκομαστε σὲ μιὰ προεπαναστατικὴ ἐπιστημονικὴ ἐποχή. Θὰ σᾶς παρακαλοῦσα νὰ μοῦ ἐπιτρέψετε μιὰ ἀπλὴ σύγκριση μὲ γνωστὰ γεγονότα τῆς ἀρχῆς τοῦ αἰώνα μας, διτὸν ἡ φασματοσκοπία τοῦ ὄρατοῦ φωτὸς εἶχε τεχνολογικὰ τελειοποιηθεῖ τόσον ὅσο ἀφορᾶ τὶς πηγὲς ὅσο καὶ τὰ φασματοσκόπια, τὰ δεδομένα συνελέγοντο μὲ προβλέψεις ποὺ ὑπαγόρευε τὸ πρότυπο τοῦ ἀτόμου τοῦ Bohr. Ἡ τελικὴ ὅμως ἐρμηνεία τους ἐδόθη στὰ πλαίσια τῆς Κβαντομηχανικῆς ἡ δύοια καὶ ἀνεπτύχθη κυρίως γιὰ τὸ σκοπὸ αὐτό, ἀλλὰ σήμερα ἀντιμετωπίζει προβλήματα στὴν ποσοτικὴ ἔξήγηση πολλῶν ἀπὸ τὶς νέες παρατηρήσεις.

Ἐὰν περιορισθοῦμε, γιὰ τὴ διευκόλυνση τῆς συζητήσεως, στὴ σύγκριση τοῦ ρυθμοῦ συλλογῆς δεδομένων κατὰ τὴν ἐποχὴ τῆς σύγχρονης δύτικῆς τῶν ἀκτίνων-X μὲ αὐτὸν τῆς προηγουμένης, μόνο ὡς πρὸς τὴ λαμπρότητα τῶν πηγῶν ποὺ ἔχει αὔξηθεῖ κατὰ δεκατρεῖς τάξεις μεγέθους ( $10^{13}$ ), μιὰ ἀνθρωποώρα συλλογὴς δεδομένων σὲ ἔνα ἀπὸ τὰ πολλὰ πειράματα ποὺ διεξάγονται συγχρόνως στὶς Εύρωπαϊκὲς Εγκαταστάσεις 'Ακτινοβολίας Συγχρότρου<sup>21</sup>, ἀντίστοιχες περίπου σὲ τρία ἑκατομμύρια

20. G. Ruocco, F. Sette, Bergmann, M. Krisch, C. Masciovecchio, V. Mazzacurati, G. Signorelli & R. Verbeni, Nature Vol 379, 521 (1996).

21. Μόνο στὶς ἐγκαταστάσεις τοῦ ESRF ἔχουν προγραμματιστεῖ 3570 βάρδιες γιὰ τὸ πρῶτο ἔξάμηνο τοῦ 1997.

ἀνθρωποέτη στὴν καλύτερη ἐργαστηριακὴ συσκευὴ ἀκτίνων-X περιστρεφομένης ἀνόδου ( $3.17 \times 10^6$  ἔτη).

‘Η νέα τεχνολογία καὶ ἔρευνητικὴ μεθοδολογία ἔχουν ὡς ἀποτέλεσμα τὴν πλήρη ἀναδιοργάνωση καὶ μεταμόρφωση τῆς δομῆς τῶν ἔρευνητικῶν προσπαθειῶν. Κατὰ τὸ παρελθόν, ἡ ἔρευνα στὴν περιοχὴ τῶν ἀκτίνων-X διεξήγετο ἀπὸ δύλιγομελεῖς ὅμαδες, σὲ ἐργαστήρια, μικρῶν οἰκονομικῶν ἐπενδύσεων, διεσπαρμένων σὲ ἔρευνητικὰ κέντρα καὶ Πανεπιστημιακὰ τμήματα καὶ πολλὲς φορὲς στὸ Ἰδιό ΑΕΙ ἡ ἔρευνητικὸ κέντρο ὑπῆρχαν περισσότερα τοῦ ἐνὸς ἐργαστήρια ἀκτίνων-X. ‘Η δομὴ αὐτὴ ἦταν τὸ πλέον χαρακτηριστικὸ παράδειγμα τρόπου ἔρευνης ποὺ ἔχει χαρακτηρισθεῖ ὡς «ἔρευνα μικρῆς κλίμακας».

‘Η χρήση τοῦ συγχρότρου ὡς πηγῆς ἀκτίνων-X ποὺ ἀπαιτεῖ μεγάλες ἐγκαταστάσεις μὲ ἀντίστοιχες χρηματικὲς ἐπενδύσεις, εἶχε ὡς ἀποτέλεσμα νὰ περιορίσει καὶ σὲ μερικὲς περιπτώσεις νὰ ἐκμηδενίσει τὴν ἀξία τῶν μικρῶν, δύλιγομελῶν ἐργαστηρίων, ἡ χρησιμότητα τῶν ὄποιων ἔχει περιοριστεῖ σὲ κλασικὲς μετρήσεις ρουτίνας καὶ σὲ διεργασίες προετοιμασίας καὶ ἐλέγχου διατάξεων καὶ δειγμάτων. Τέλος συνετέλεσε στὸν περιορισμὸ τῶν συγκινήσεων ποὺ ἔδιδε ἡ μικρῆς κλίμακας ἔρευνα τῆς «Ἡρωικῆς ἐποχῆς», ποὺ δὲ χρόνος μεταξὺ ἐμπνεύσεως καὶ ὑλοποιήσεως ἦταν τῆς ἰδίας τάξεως μεγέθους μὲ τὴ διάρκεια τοῦ ἐνθουσιασμοῦ καὶ ἡ πίστη τοῦ ἔρευνητη στὴν ἴδεα του ἀποτελοῦσε τὸ πρωταρχικὸ στοιχεῖο γιὰ τὴν ἐκτέλεση τοῦ πειράματος.

‘Η σημερινὴ πρακτικὴ, καλύτερη ἢ χειρότερη, εἶναι πάντας τελείως διαφορετική, ἀπαιτεῖ μακροχρόνιο προγραμματισμό, συνεργασία σχετικὰ μεγάλου ἀριθμοῦ ἔρευνητῶν, κατὰ προτίμηση διαφορετικῆς προελεύσεως καὶ ἐπικουρικὸ προσωπικό, ἀναζήτηση χρηματοδότησης καὶ προσπάθεια νὰ πεισθοῦν διάφοροι ἀρμόδιοι εἰδήμονες καὶ μὴ ὅτι ἡ ἔρευνητικὴ προσπάθεια θὰ ἔχει κάποιο συγκεκριμένο πρακτικὸ ἐμπορεύσιμο ἀποτέλεσμα. ’Ετσι σχεδὸν τὸ σύνολο τῶν ἔρευνητικῶν προσπαθειῶν τῆς σύγχρονης ὁπτικῆς τῶν ἀκτίνων-X γίνεται γιὰ νὰ τελειοποιηθοῦν μέθοδοι καὶ διατάξεις ποὺ θὰ συμβάλουν στὴν παραγωγή, στὸν ἔλεγχο, στὴ μελέτη καὶ στὴν ἐπεξεργασία μικρῶν καὶ γενικότερα στὴ μελέτη μηχανισμῶν ὅπως π.χ. χημικῶν, βιολογικῶν. ’Ως πάρεργο δὲ τῆς προσπάθειας αὐτῆς μελετῶνται φαινόμενα, τὰ δοπιὰ δὲν ἔχουν ἀκόμη διερευνηθεῖ, ἐὰν καὶ ἐφόσον εἶναι δυνατὴ ἡ ἐπίκληση τῆς δικαιολογίας ὅτι θὰ συμβάλουν στὴ βελτίωση ὑπαρχουσῶν τεχνικῶν. Γιὰ τοὺς παραπάνω λόγους, ἀν καὶ σήμερα οἱ ἀνθρωποῶρες ποὺ ἀναλώνονται στὴν περιοχὴ αὐτὴ τῆς φυσικῆς εἶναι περισσότερες παρὰ ποτὲ ἄλλοτε, καμία σημαντικὴ ἀνακάλυψη δὲν προέκυψε καὶ καμία ριζοσπαστικὴ νέα ἴδεα δὲν ἀνεπήδησε ἀκόμη<sup>22</sup>.

22. Στὸ πεδίο τῆς σύγχρονης ὁπτικῆς τῶν ἀκτίνων-X φαίνονται ἀνάγλυφα οἱ ἀντιφάσεις καὶ

## Παράρτημα Α

‘Απόσπασμα ἀναφορᾶς τοῦ Διευθυντοῦ  
τοῦ ἐργαστηρίου Φυσικῆς τοῦ Ἑθνικοῦ Πανεπιστημίου  
Ἐργαστήριον τῆς Φυσικῆς

Πρὸς τὴν Σ. Πρυτανείαν τοῦ Ἑθνικοῦ Πανεπιστημίου.

*Kύριε Πρύτανι*

Κατὰ τὸ ἀκαδημαϊκὸν ἔτος 1896-97 ἐγένοντο ἐν τῷ ἐργαστηρίῳ τῆς Φυσικῆς τακτικῶς αἱ ἀσκήσεις τῶν φοιτητῶν τοῦ φυσικοῦ καὶ μαθηματικοῦ τμῆματος τῆς Φιλοσοφικῆς Σχολῆς.

Ἡσκήθησαν δὲ κατὰ τὸ ἔτος τοῦτο οἱ ἔξι φοιτηταί, πληρώσαντες τὸ νόμιμον τέλος τοῦ χαρτοσήμου...

Ἐν τῷ ἐργαστηρίῳ ἔγκατέστησα ἀπὸ τῆς ἀρχῆς τοῦ ἀκαδημαϊκοῦ ἔτους διὰ τῶν ὑπαρχουσῶν ἐν αὐτῷ συσκευῶν πλῆρες σύστημα πρὸς παραγωγὴν τῆς ἀκτινοβολίας τοῦ Röntgen. Δι’ αὐτῆς ἡδυνήθην νὰ ἐκτελέσω πληθὺν ἀκτινογραφιῶν καὶ ἀκτινοσκοπιῶν ἐπὶ τραματιῶν καὶ ἄλλων ἀρρώστων, ὃν πολλοὶ φέροντες βολίδας ἢ ἄλλα μετάλλινα σώματα ἐθεραπεύθησαν. Ἡ προσφορὰ δὲ συσκευῆς φορητῆς ἦν ἕκαμεν ὁ Ἡμερήσιος Χρονογράφος τοῦ Λονδίνου, εἰς ἣν καὶ ὑμεῖς, Κύριε Πρύτανι, συνετελέσατε, μοὶ παρέσχε τὸ μέσον νὰ ἐκτελέσω τοιαύτας ἐπιτυχεῖς ἀκτινογραφίας καὶ ἀκτινοσκοπίας καὶ ἐκτὸς τοῦ ἐργαστηρίου μου, εἰς Ἀθήνας, εἰς Πάτρας καὶ εἰς Κέρκυραν.

Ἡ τῇ ὑμετέρᾳ προτάσει γενομένη αὔξησις τῆς χρηματικῆς χορηγίας πρὸς ἀγορὰν ὀργάνων τοῦ ἐπομένου ἔτους 1897-98 θέλει συντελέσει οὐκ ὀλίγον εἰς τὸν ἐμπλουτισμὸν τοῦ ἐργαστηρίου συμφώνως πρὸς τὰς μεγάλας προόδους τῆς ἐπιστήμης.

Ἐν Ἀθήναις τῇ 1 Ὁκτωβρίου 1897.

Εὔπειθέστατος  
Τ. Α. ΑΡΓΥΡΟΠΟΥΛΟΣ

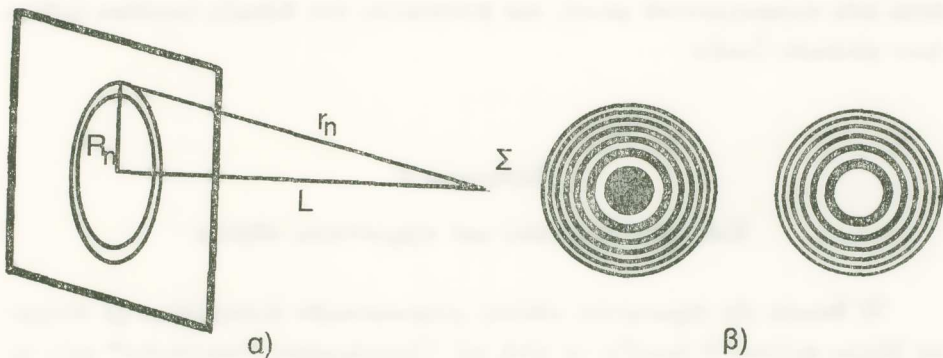
---

οἱ προβληματισμοὶ τῆς μετεξέλιξης τοῦ τρόπου ἔρευνας μικρῆς κλίμακας κατὰ ἀπὸ τὶς ὑπαρκτὲς κοινωνικοοικονομικὲς συνθῆκες καὶ τὸν ἀσφυκτικὸν ἔναγκαλισμὸν ἔρευνας καὶ παραγωγῆς. Ἔτσι αὐτὸς τὸ πεδίον ἀποτελεῖ τὸ δοκιμαστήριο γιὰ τὸν τρόπο ἔξελιξεως τῆς ἔρευνας καὶ τῆς ἐκπαιδεύσεως.

## Παράρτημα Β

'Αρχὴ Φωκοῦ Περιθλάσεως

'Απὸ τὴν θεωρία τοῦ Fresnell<sup>23</sup> γιὰ τὴν περίθλαση ἐπιπέδου κύματος ἐντάσεως ἡλεκτρικοῦ πεδίου Εο ἀπὸ κυκλικὴ ζώνη (σχῆμα 6), προκύπτει ὅτι στὴν περίπτωση



Σχῆμα 6. α) Ἀρχὴ σύγκλισης παράλληλης δέσμης ἡλεκτρομαγνητικοῦ κύματος ἀπὸ κυκλικὴ ζώνη, β) πλακίδιο ζωνῶν Fresnell.

$$R_n^2 = (L + n \lambda/2)^2 - L^2 = nr \lambda \quad (1)$$

ποὺ  $r_n = n \lambda/2$ , παρατηρεῖται ἐνισχυτικὴ συμβολὴ στὸ σημεῖο  $\Sigma$  γιὰ κάθε δυάδα στοιχειωδῶν κυμάτων σκεδασθέντων σὲ ἀντιδιαμετρικὰ σημεῖα. Μεταξὺ τῆς ἐξωτερικῆς ἀκτίνας  $R_n$ , τῆς ζώνης καὶ τῆς ἀποστάσεως  $L$  τοῦ σημείου  $\Sigma$  ἀπὸ τὸ ἐπίπεδο τῆς ζώνης, ἴσχυει ἡ σχέση:

$$\text{καὶ } L = \frac{R_n^2}{n\lambda}.$$

Στὴν περίπτωση ποὺ ἡ κυκλικὴ ὅπὴ τοῦ πετάσματος ἀντικατασταθεῖ ἀπὸ κυκλικὴ ζώνη, ἐξωτερικῆς ἀκτίνας  $R_n$  καὶ ἐσωτερικῆς  $R_{n-1}$ , οἱ ὅποιες īκανο-

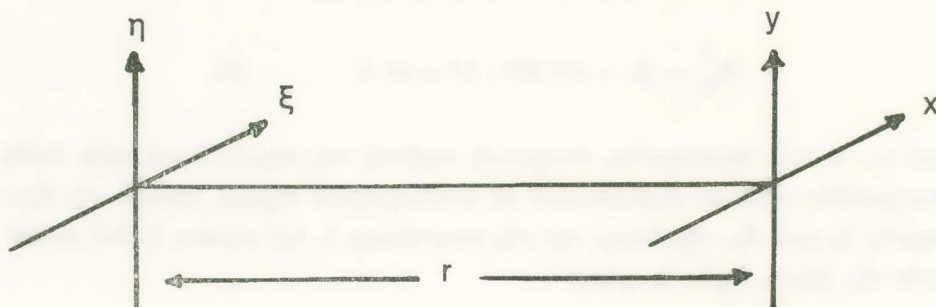
23. E. Hecht, Optics, Addison-Wesley, 1989.

ποιοιον τή σχέση (1) γιατί ένισχυτική συμβολή, τότε τὸ ἐμβαδὸν τῆς ζώνης πρέπει νὰ εἶναι  $\pi R_1^2$  ἀνεξαρτήτως τοῦ π. "Ενα σύστημα N διόπτρων κυκλικῶν ζωνῶν ἔναλλαξ διαφανῶν καὶ ἀδιαφανῶν δημιουργεῖ στὸ σημεῖο Σ ἡλεκτρικὸ πεδίο  $E = \sum_n E_{2n+1} \approx \frac{N}{2} E_0$ , καὶ φωτεινὴ ροὴ  $N^2/4$  φορὲς μεγαλύτερη αὐτῆς τὴν διποία δημιουργεῖ μιὰ ζώνη. Δηλαδὴ μιὰ παράλληλη δέσμη φωτὸς τὴν μετατρέπει σὲ συγκαίνουσα διερχόμενη ἀπὸ τὸ A, τὸ δόποιο δύναται νὰ θεωρηθεῖ ὡς ἡ κυρία ἔστια ἐνὸς συγκεντρωτικοῦ φακοῦ, ποὺ ἀποτελεῖται ἀπὸ διάταξη ἐπιπέδων διόπτρων κυκλικῶν ζωνῶν.

### Παράρτημα Γ

Καθυστέρηση φάσεως καὶ σχηματισμὸς εἰδώλου

Ἡ θεωρία τῆς δημιουργίας εἰδώλου μικροσκοπικῶν ἀντικειμένων μὲ σύγχρονες δέσμες ἀκτίνων-X διμοιάζει μὲ αὐτὴ τοῦ Ὀλογράμματος Fraunhofer<sup>24</sup> στὴν περιοχὴν τῶν Laser.



Σχῆμα 7. Ἀρχὴ τῆς δημιουργίας διλογράμματος: ἐπίπεδο κύμα ἀκτίνων-X προσπίπτει ἐπὶ τοῦ ἀντικειμένου A, τὸ δόποιο περιγράφεται ἀπὸ τὴ συνάρτηση A(ξ,η). Τὸ διλόγραμμα σχηματίζεται ἐπὶ τοῦ πετάσματος ποὺ εὑρίσκεται σὲ ἀπόσταση r, ἡ δὲ ἔνταση τοῦ ἡλεκτρικοῦ πεδίου εἶναι ἡ E(x,y).

24. A. Snigirev, I. Snigireva, V. Kohn, S. Kuznetsov and I. Schelokov, Rev. Inst. 66, 5486, 1995, G. A. Tyler and B. J. Thomson, Opt. Acta 23, 685 (1976).

"Εστω ότι ένα άντικείμενο, τοῦ ὅποιον ἡ κατανομὴ ὅλης περιγράφεται ἀπὸ τὴ συνάρτηση  $A(\xi, \eta)$ , φωτίζεται ἀπὸ ένα ἐπίπεδο κύμα πλάτους Εο καὶ μήκους κύματος  $\lambda$  (σχῆμα 7). Ἡ κατανομὴ τοῦ ἥλεκτρικοῦ πεδίου  $E(x,y)$ , στὸ ἐπίπεδο ἀπεικόνισης ποὺ βρίσκεται σὲ ἀπόσταση  $r$  δίδεται στὴν περίπτωση τοῦ μακρινοῦ πεδίου ἀπὸ τὴ σχέση:

$$E(x,y) = - \frac{iE_0}{\lambda r} \exp [ikr] \int_{-\infty}^{\infty} \int_{-\infty}^{\infty} [1 - A(\xi, \eta)] \exp \left\{ ik \frac{[(x - \xi)^2 + (y - \eta)^2]}{2r} \right\} \\ \exp [i \varphi(\xi, \eta)] d\xi d\eta.$$

τὸ δὲ ὄλογραμμα δημιουργεῖται ἀπὸ τὴν ἔνταση τῆς δέσμης ποὺ δίνεται ἀπὸ τὴ σχέση

$$I(x,y) = E(x,y) \cdot E^*(x,y)$$

ἡ ὅποια περιέχει τὴ συνάρτηση  $\varphi(\xi, \eta)$ .